

Tabulka 8.1 Primární lokální vektory koncových sil

(a)	$\begin{pmatrix} \text{(8.1a/1)} \\ F_x \\ F_z \end{pmatrix}$	$\begin{pmatrix} \text{(8.1a/2)} \\ F_x \\ F_z \end{pmatrix}$	$\begin{pmatrix} \text{(8.1a/3)} \\ M_{\curvearrowleft} \\ M_{\curvearrowright} \end{pmatrix}$	$\begin{pmatrix} \text{(8.1a/4)} \\ M_1 \\ M_2 \end{pmatrix}$	$\begin{pmatrix} \text{(8.1a/5)} \\ M_1 \\ M_2 \end{pmatrix}$	$\begin{pmatrix} \text{(8.1a/6)} \\ q \\ q_b \\ n_b \end{pmatrix}$	$\begin{pmatrix} \text{(8.1a/7)} \\ q \\ q_a \\ n_b \end{pmatrix}$	$\begin{pmatrix} \text{(8.1a/8)} \\ q \\ q_a \\ n_b \end{pmatrix}$	$\begin{pmatrix} \text{(8.1a/9)} \\ q \\ q_a \\ n_b \end{pmatrix}$	$\begin{pmatrix} \text{(8.1a/10)} \\ q \\ q_a \\ n_b \end{pmatrix}$
(b)	$\begin{pmatrix} \text{(8.1b/1)} \\ F_x \\ F_z \end{pmatrix}$	$\begin{pmatrix} \text{(8.1b/2)} \\ F_x \\ F_z \end{pmatrix}$	$\begin{pmatrix} \text{(8.1b/3)} \\ M_{\curvearrowleft} \\ M_{\curvearrowright} \end{pmatrix}$	$\begin{pmatrix} \text{(8.1b/4)} \\ M_{\curvearrowleft} \\ M_{\curvearrowright} \end{pmatrix}$	$\begin{pmatrix} \text{(8.1b/5)} \\ M_{\curvearrowleft} \\ M_{\curvearrowright} \end{pmatrix}$	$\begin{pmatrix} \text{(8.1b/6)} \\ q \\ q_b \\ n_b \end{pmatrix}$	$\begin{pmatrix} \text{(8.1b/7)} \\ q \\ q_a \\ n_b \end{pmatrix}$	$\begin{pmatrix} \text{(8.1b/8)} \\ q \\ q_a \\ n_b \end{pmatrix}$	$\begin{pmatrix} \text{(8.1b/9)} \\ q \\ q_a \\ n_b \end{pmatrix}$	$\begin{pmatrix} \text{(8.1b/10)} \\ q \\ q_a \\ n_b \end{pmatrix}$

Obdélník průřez:
 $\Delta T_0 = (\Delta T^d + \Delta T^v)/2$;
 $\Delta T_1 = \Delta T^d - \Delta T^v$

Obdélník průřez:
 $\Delta T_0 = (\Delta T^d + \Delta T^v)/2$;
 $\Delta T_1 = \Delta T^d - \Delta T^v$

Tabulká 8.1 Primární lokální vektory koncových sil (pokračování)

(c)	<table border="1" style="width: 100%; border-collapse: collapse;"> <thead> <tr> <th style="text-align: center;">(8.1c/1)</th><th style="text-align: center;">(8.1c/2)</th><th style="text-align: center;">(8.1c/3)</th><th style="text-align: center;">(8.1c/4)</th><th style="text-align: center;">(8.1c/5)</th><th style="text-align: center;">(8.1c/6)</th><th style="text-align: center;">(8.1c/7)</th><th style="text-align: center;">(8.1c/8)</th><th style="text-align: center;">(8.1c/9)</th></tr> </thead> <tbody> <tr> <td>$\begin{pmatrix} F_x \\ F_z \end{pmatrix}$</td><td>$\begin{pmatrix} -\frac{1}{2}F_x \\ -\frac{5}{16}F_z \end{pmatrix}$</td><td>$\begin{pmath}-3\frac{l^2-a^2}{2l^3}M \end{pmath}$</td><td>$\begin{pmath}0 \end{pmath}$</td><td>$\begin{pmath}0 \end{pmath}$</td><td>$\begin{pmath}0 \end{pmath}$</td><td>$\begin{pmath}-\frac{1}{8}nl \\ -\frac{7}{128}ql \end{pmath}$</td><td>$\begin{pmath}-\frac{2n_a+n_b}{6}l \\ -\frac{11q_a+4q_b}{40}l \end{pmath}$</td><td>$\begin{pmath}EA\alpha_r\Delta T_0 \\ \frac{3EI}{2hl}\alpha_r\Delta T_1 \end{pmath}$</td></tr> <tr> <td>$\begin{pmath}M \\ I \\ q \end{pmath}$</td><td>$\begin{pmath}-\frac{b}{l}F_x \\ -b^2\frac{3l-b}{2l^3}F_z \end{pmath}$</td><td>$\begin{pmath}-\frac{5}{16}F_z \end{pmath}$</td><td>$\begin{pmath}0 \end{pmath}$</td><td>$\begin{pmath}0 \end{pmath}$</td><td>$\begin{pmath}0 \end{pmath}$</td><td>$\begin{pmath}0 \end{pmath}$</td><td>$\begin{pmath}0 \end{pmath}$</td><td>$\begin{pmath}0 \end{pmath}$</td></tr> </tbody> </table>	(8.1c/1)	(8.1c/2)	(8.1c/3)	(8.1c/4)	(8.1c/5)	(8.1c/6)	(8.1c/7)	(8.1c/8)	(8.1c/9)	$\begin{pmatrix} F_x \\ F_z \end{pmatrix}$	$\begin{pmatrix} -\frac{1}{2}F_x \\ -\frac{5}{16}F_z \end{pmatrix}$	$\begin{pmath}-3\frac{l^2-a^2}{2l^3}M \end{pmath}$	$\begin{pmath}0 \end{pmath}$	$\begin{pmath}0 \end{pmath}$	$\begin{pmath}0 \end{pmath}$	$\begin{pmath}-\frac{1}{8}nl \\ -\frac{7}{128}ql \end{pmath}$	$\begin{pmath}-\frac{2n_a+n_b}{6}l \\ -\frac{11q_a+4q_b}{40}l \end{pmath}$	$\begin{pmath}EA\alpha_r\Delta T_0 \\ \frac{3EI}{2hl}\alpha_r\Delta T_1 \end{pmath}$	$\begin{pmath}M \\ I \\ q \end{pmath}$	$\begin{pmath}-\frac{b}{l}F_x \\ -b^2\frac{3l-b}{2l^3}F_z \end{pmath}$	$\begin{pmath}-\frac{5}{16}F_z \end{pmath}$	$\begin{pmath}0 \end{pmath}$					
(8.1c/1)	(8.1c/2)	(8.1c/3)	(8.1c/4)	(8.1c/5)	(8.1c/6)	(8.1c/7)	(8.1c/8)	(8.1c/9)																				
$\begin{pmatrix} F_x \\ F_z \end{pmatrix}$	$\begin{pmatrix} -\frac{1}{2}F_x \\ -\frac{5}{16}F_z \end{pmatrix}$	$\begin{pmath}-3\frac{l^2-a^2}{2l^3}M \end{pmath}$	$\begin{pmath}0 \end{pmath}$	$\begin{pmath}0 \end{pmath}$	$\begin{pmath}0 \end{pmath}$	$\begin{pmath}-\frac{1}{8}nl \\ -\frac{7}{128}ql \end{pmath}$	$\begin{pmath}-\frac{2n_a+n_b}{6}l \\ -\frac{11q_a+4q_b}{40}l \end{pmath}$	$\begin{pmath}EA\alpha_r\Delta T_0 \\ \frac{3EI}{2hl}\alpha_r\Delta T_1 \end{pmath}$																				
$\begin{pmath}M \\ I \\ q \end{pmath}$	$\begin{pmath}-\frac{b}{l}F_x \\ -b^2\frac{3l-b}{2l^3}F_z \end{pmath}$	$\begin{pmath}-\frac{5}{16}F_z \end{pmath}$	$\begin{pmath}0 \end{pmath}$	$\begin{pmath}0 \end{pmath}$	$\begin{pmath}0 \end{pmath}$	$\begin{pmath}0 \end{pmath}$	$\begin{pmath}0 \end{pmath}$	$\begin{pmath}0 \end{pmath}$																				
(d)	<table border="1" style="width: 100%; border-collapse: collapse;"> <thead> <tr> <th style="text-align: center;">(8.1d/1)</th><th style="text-align: center;">(8.1d/2)</th><th style="text-align: center;">(8.1d/3)</th><th style="text-align: center;">(8.1d/4)</th><th style="text-align: center;">(8.1d/5)</th><th style="text-align: center;">(8.1d/6)</th><th style="text-align: center;">(8.1d/7)</th><th style="text-align: center;">(8.1d/8)</th><th style="text-align: center;">(8.1d/9)</th></tr> </thead> <tbody> <tr> <td>$\begin{pmath}F_x \\ F_z \end{pmath}$</td><td>$\begin{pmath}-\frac{1}{2}F_x \\ -\frac{1}{2}F_z \end{pmath}$</td><td>$\begin{pmath}0 \\ -\frac{3l^2-a^2}{2l^3}M \end{pmath}$</td><td>$\begin{pmath}0 \\ -\frac{9M}{8l} \end{pmath}$</td><td>$\begin{pmath}0 \\ -\frac{3M}{2l} \end{pmath}$</td><td>$\begin{pmath}0 \\ -\frac{3M}{2l} \end{pmath}$</td><td>$\begin{pmath}-\frac{1}{8}nl \\ -\frac{57}{128}ql \end{pmath}$</td><td>$\begin{pmath}-\frac{2n_a+q_b}{6}l \\ -\frac{9q_a+16q_b}{40}l \end{pmath}$</td><td>$\begin{pmath}EA\alpha_r\Delta T_0 \\ \frac{3EI}{2hl}\alpha_r\Delta T_1 \end{pmath}$</td></tr> <tr> <td>$\begin{pmath}M \\ I \\ q \end{pmath}$</td><td>$\begin{pmath}-\frac{b}{l}F_x \\ -b^2\frac{3l-b}{2l^3}F_z \end{pmath}$</td><td>$\begin{pmath}-\frac{5}{16}F_z \end{pmath}$</td><td>$\begin{pmath}0 \end{pmath}$</td><td>$\begin{pmath}0 \end{pmath}$</td><td>$\begin{pmath}0 \end{pmath}$</td><td>$\begin{pmath}0 \end{pmath}$</td><td>$\begin{pmath}0 \end{pmath}$</td><td>$\begin{pmath}0 \end{pmath}$</td></tr> </tbody> </table>	(8.1d/1)	(8.1d/2)	(8.1d/3)	(8.1d/4)	(8.1d/5)	(8.1d/6)	(8.1d/7)	(8.1d/8)	(8.1d/9)	$\begin{pmath}F_x \\ F_z \end{pmath}$	$\begin{pmath}-\frac{1}{2}F_x \\ -\frac{1}{2}F_z \end{pmath}$	$\begin{pmath}0 \\ -\frac{3l^2-a^2}{2l^3}M \end{pmath}$	$\begin{pmath}0 \\ -\frac{9M}{8l} \end{pmath}$	$\begin{pmath}0 \\ -\frac{3M}{2l} \end{pmath}$	$\begin{pmath}0 \\ -\frac{3M}{2l} \end{pmath}$	$\begin{pmath}-\frac{1}{8}nl \\ -\frac{57}{128}ql \end{pmath}$	$\begin{pmath}-\frac{2n_a+q_b}{6}l \\ -\frac{9q_a+16q_b}{40}l \end{pmath}$	$\begin{pmath}EA\alpha_r\Delta T_0 \\ \frac{3EI}{2hl}\alpha_r\Delta T_1 \end{pmath}$	$\begin{pmath}M \\ I \\ q \end{pmath}$	$\begin{pmath}-\frac{b}{l}F_x \\ -b^2\frac{3l-b}{2l^3}F_z \end{pmath}$	$\begin{pmath}-\frac{5}{16}F_z \end{pmath}$	$\begin{pmath}0 \end{pmath}$					
(8.1d/1)	(8.1d/2)	(8.1d/3)	(8.1d/4)	(8.1d/5)	(8.1d/6)	(8.1d/7)	(8.1d/8)	(8.1d/9)																				
$\begin{pmath}F_x \\ F_z \end{pmath}$	$\begin{pmath}-\frac{1}{2}F_x \\ -\frac{1}{2}F_z \end{pmath}$	$\begin{pmath}0 \\ -\frac{3l^2-a^2}{2l^3}M \end{pmath}$	$\begin{pmath}0 \\ -\frac{9M}{8l} \end{pmath}$	$\begin{pmath}0 \\ -\frac{3M}{2l} \end{pmath}$	$\begin{pmath}0 \\ -\frac{3M}{2l} \end{pmath}$	$\begin{pmath}-\frac{1}{8}nl \\ -\frac{57}{128}ql \end{pmath}$	$\begin{pmath}-\frac{2n_a+q_b}{6}l \\ -\frac{9q_a+16q_b}{40}l \end{pmath}$	$\begin{pmath}EA\alpha_r\Delta T_0 \\ \frac{3EI}{2hl}\alpha_r\Delta T_1 \end{pmath}$																				
$\begin{pmath}M \\ I \\ q \end{pmath}$	$\begin{pmath}-\frac{b}{l}F_x \\ -b^2\frac{3l-b}{2l^3}F_z \end{pmath}$	$\begin{pmath}-\frac{5}{16}F_z \end{pmath}$	$\begin{pmath}0 \end{pmath}$	$\begin{pmath}0 \end{pmath}$	$\begin{pmath}0 \end{pmath}$	$\begin{pmath}0 \end{pmath}$	$\begin{pmath}0 \end{pmath}$	$\begin{pmath}0 \end{pmath}$																				

Obdélník, průřez:
 $\Delta T_0 = (\Delta T^d + \Delta T^r)/2$;
 $\Delta T_1 = \Delta T^d - \Delta T^r$

Obdélník, průřez:
 $\Delta T_0 = (\Delta T^d + \Delta T^r)/2$;
 $\Delta T_1 = \Delta T^d - \Delta T^r$

Obdélník, průřez:
 $\Delta T_0 = (\Delta T^d + \Delta T^r)/2$;
 $\Delta T_1 = \Delta T^d - \Delta T^r$

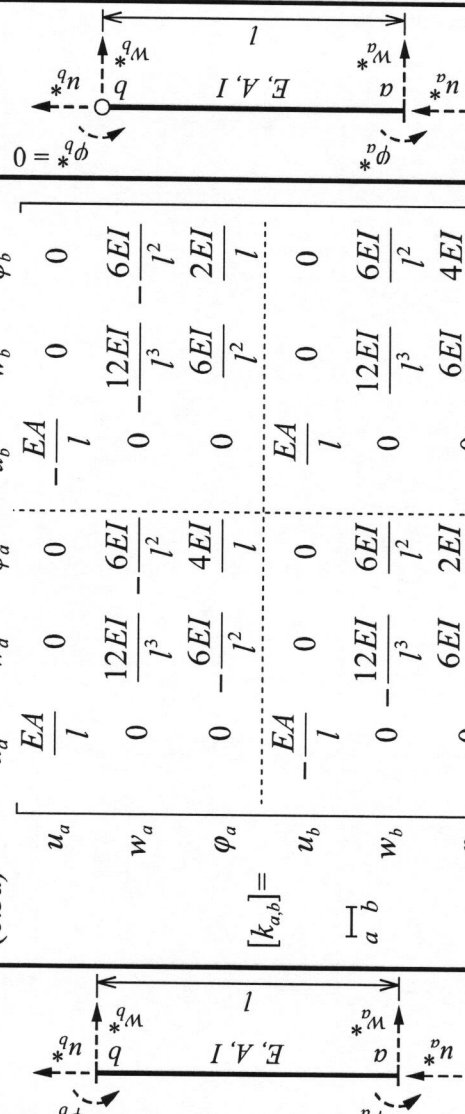
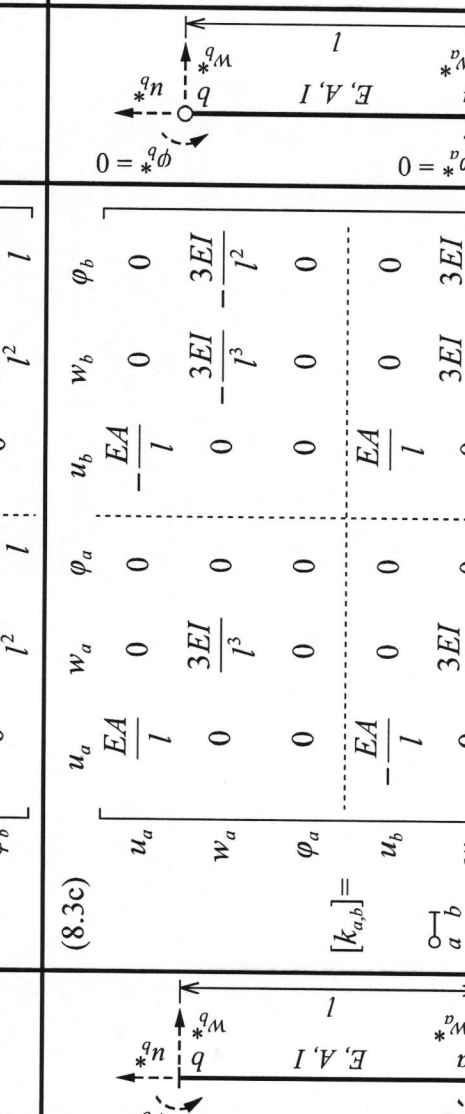
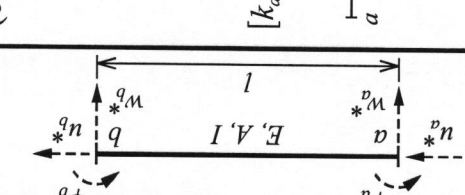
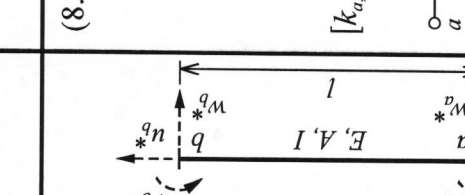
Tabulka 8.2 Globální matice tuhosti prutu

<p>(a)</p> <p>$c = \cos \gamma$ $s = \sin \gamma$</p>	<p>(8.2a)</p> $[k_{a,b}] = \begin{bmatrix} u_a & \begin{bmatrix} EA & 12EI \\ l & l^3 \end{bmatrix} s^2 & \begin{bmatrix} EA & 12EI \\ l & l^3 \end{bmatrix} cs & \frac{\varphi_a}{l^2} s & -\left(\frac{EA}{l} c^2 + \frac{12EI}{l^3} s^2\right) & -\left(\frac{EA}{l} - \frac{12EI}{l^3}\right) cs & \frac{\varphi_b}{l^2} s \\ w_a & \begin{bmatrix} EA & 12EI \\ l & l^3 \end{bmatrix} cs & \begin{bmatrix} EA & 12EI \\ l & l^3 \end{bmatrix} c^2 & -\frac{6EI}{l^2} c & -\left(\frac{EA}{l} - \frac{12EI}{l^3}\right) cs & -\left(\frac{EA}{l} s^2 + \frac{12EI}{l^3} c^2\right) & -\frac{6EI}{l^2} c \\ \varphi_a & & & & & & \\ u_b & -\left(\frac{EA}{l} c^2 + \frac{12EI}{l^3} s^2\right) & -\left(\frac{EA}{l} - \frac{12EI}{l^3}\right) cs & -\frac{6EI}{l^2} s & \frac{EA}{l} c^2 + \frac{12EI}{l^3} s^2 & \left(\frac{EA}{l} - \frac{12EI}{l^3}\right) cs & -\frac{6EI}{l^2} s \\ w_b & -\left(\frac{EA}{l} - \frac{12EI}{l^3}\right) cs & -\left(\frac{EA}{l} s^2 + \frac{12EI}{l^3} c^2\right) & \frac{6EI}{l^2} c & \left(\frac{EA}{l} - \frac{12EI}{l^3}\right) cs & \frac{EA}{l} s^2 + \frac{12EI}{l^3} c^2 & \frac{6EI}{l^2} c \\ \varphi_b & & & & & & \\ \end{bmatrix}$
<p>(b)</p> <p>$c = \cos \gamma$ $s = \sin \gamma$</p>	<p>(8.2b)</p> $[k_{a,b}] = \begin{bmatrix} u_a & \begin{bmatrix} EA & 3EI \\ l & l^3 \end{bmatrix} s^2 & \begin{bmatrix} EA & 3EI \\ l & l^3 \end{bmatrix} cs & \frac{\varphi_a}{l^2} s & -\left(\frac{EA}{l} c^2 + \frac{3EI}{l^3} s^2\right) & -\left(\frac{EA}{l} - \frac{3EI}{l^3}\right) cs & \varphi_b \\ w_a & \begin{bmatrix} EA & 3EI \\ l & l^3 \end{bmatrix} cs & \begin{bmatrix} EA & 3EI \\ l & l^3 \end{bmatrix} c^2 & -\frac{3EI}{l^2} c & -\left(\frac{EA}{l} - \frac{3EI}{l^3}\right) cs & -\left(\frac{EA}{l} s^2 + \frac{3EI}{l^3} c^2\right) & 0 \\ \varphi_a & & & & & & \\ u_b & -\left(\frac{EA}{l} c^2 + \frac{3EI}{l^3} s^2\right) & -\left(\frac{EA}{l} - \frac{3EI}{l^3}\right) cs & -\frac{3EI}{l^2} s & \frac{EA}{l} c^2 + \frac{3EI}{l^3} s^2 & \left(\frac{EA}{l} - \frac{3EI}{l^3}\right) cs & 0 \\ w_b & -\left(\frac{EA}{l} - \frac{3EI}{l^3}\right) cs & -\left(\frac{EA}{l} s^2 + \frac{3EI}{l^3} c^2\right) & \frac{3EI}{l^2} c & \left(\frac{EA}{l} - \frac{3EI}{l^3}\right) cs & \frac{EA}{l} s^2 + \frac{3EI}{l^3} c^2 & 0 \\ \varphi_b & & & & & & \\ \end{bmatrix}$

Tabulka 8.2 Globální matice tuhosti prutu (pokračování)

<p>(c)</p> <p>$\varphi_a = 0$</p> <p>E, A, I</p> <p>$c = \cos \gamma$</p> <p>$s = \sin \gamma$</p>	<p>(8.2c)</p> $[k_{a,b}] = \begin{bmatrix} u_a & \left[\begin{array}{c} u_a \\ \frac{EA}{l} c^2 + \frac{3EI}{l^3} s^2 \\ \left(\frac{EA}{l} - \frac{3EI}{l^3} \right) cs \end{array} \right] & \left(\frac{EA}{l} - \frac{3EI}{l^3} \right) cs & 0 & -\left(\frac{EA}{l} c^2 + \frac{3EI}{l^3} s^2 \right) & -\left(\frac{EA}{l} - \frac{3EI}{l^3} \right) cs & \frac{\varphi_b}{l^2} s \\ w_a & \left[\begin{array}{c} w_a \\ \frac{EA}{l} s^2 + \frac{3EI}{l^3} c^2 \\ \left(\frac{EA}{l} - \frac{3EI}{l^3} \right) cs \end{array} \right] & 0 & 0 & -\left(\frac{EA}{l} - \frac{3EI}{l^3} \right) cs & -\left(\frac{EA}{l} s^2 + \frac{3EI}{l^3} c^2 \right) & -\frac{3EI}{l^2} c \\ \varphi_a & 0 & 0 & 0 & 0 & 0 & 0 \end{array} \right]$
<p>(d)</p> <p>$\varphi_a = 0$</p> <p>E, A, I</p> <p>$c = \cos \gamma$</p> <p>$s = \sin \gamma$</p>	<p>(8.2d)</p> $[k_{a,b}] = \begin{bmatrix} u_a & \left[\begin{array}{c} u_a \\ \frac{EA}{l} c^2 \\ \frac{EA}{l} cs \end{array} \right] & \frac{EA}{l} c^2 & \varphi_a & u_b & u_b & \varphi_b \\ w_a & \left[\begin{array}{c} w_a \\ \frac{EA}{l} s^2 \\ \frac{EA}{l} cs \end{array} \right] & \frac{EA}{l} s^2 & 0 & -\frac{EA}{l} c^2 & -\frac{EA}{l} cs & 0 \\ \varphi_a & 0 & 0 & 0 & -\frac{EA}{l} c^2 & -\frac{EA}{l} cs & 0 \\ u_b & \left[\begin{array}{c} u_b \\ -\frac{EA}{l} c^2 \\ -\frac{EA}{l} cs \end{array} \right] & -\frac{EA}{l} c^2 & 0 & \frac{EA}{l} c^2 & \frac{EA}{l} cs & 0 \\ w_b & \left[\begin{array}{c} w_b \\ -\frac{EA}{l} s^2 \\ -\frac{EA}{l} cs \end{array} \right] & -\frac{EA}{l} s^2 & 0 & \frac{EA}{l} c^2 & \frac{EA}{l} cs & 0 \\ \varphi_b & 0 & 0 & 0 & 0 & 0 & 0 \end{array} \right]$

Tabulka 8.3 Lokální matice tuhosti prutu

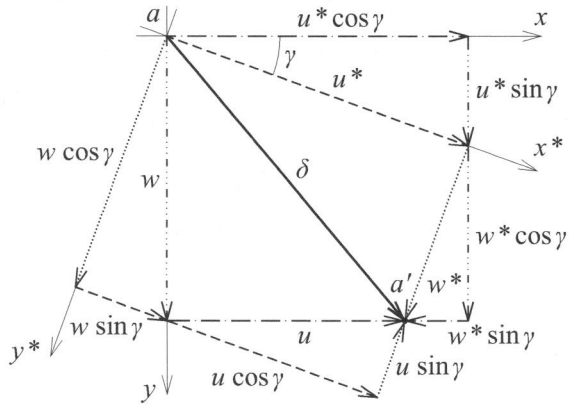
(8.3a)	$[k_{a,b}] =$		$\begin{bmatrix} u_a & \frac{EA}{l} & w_a & \varphi_a & u_b & w_b & \varphi_b \\ w_a & 0 & 12EI/l^3 & -6EI/l^2 & 0 & -12EI/l^3 & -6EI/l^2 \\ \varphi_a & 0 & -6EI/l^2 & 4EI/l & 0 & 6EI/l^2 & 2EI/l \end{bmatrix}$	(8.3b)	$[k_{a,b}] =$		$\begin{bmatrix} u_a & \frac{EA}{l} & w_a & \varphi_a & u_b & w_b & \varphi_b \\ w_a & 0 & 3EI/l^3 & -3EI/l^2 & 0 & 3EI/l^3 & -3EI/l^2 \\ \varphi_a & 0 & -3EI/l^2 & 3EI/l & 0 & -3EI/l^2 & 3EI/l \end{bmatrix}$
(8.3c)	$[k_{a,b}] =$		$\begin{bmatrix} u_a & \frac{EA}{l} & w_a & \varphi_a & u_b & w_b & \varphi_b \\ w_a & 0 & 3EI/l^3 & 0 & 0 & -3EI/l^3 & -3EI/l^2 \\ \varphi_a & 0 & 0 & 0 & 0 & 0 & 0 \end{bmatrix}$	(8.3d)	$[k_{a,b}] =$		$\begin{bmatrix} u_a & \frac{EA}{l} & w_a & \varphi_a & u_b & w_b & \varphi_b \\ w_a & 0 & 0 & 0 & 0 & 0 & 0 \\ \varphi_a & 0 & 0 & 0 & 0 & 0 & 0 \end{bmatrix}$

Tabulka 8.4

Vektor vyvolaných globálních účinků prutu od posunutí a pootočení podpor

$$\{\tilde{R}_{a,b}\} = \begin{pmatrix} \tilde{X}_{a,b} \\ \tilde{Z}_{a,b} \\ \tilde{M}_{a,b} \\ \tilde{X}_{b,a} \\ \tilde{Z}_{b,a} \\ \tilde{M}_{b,a} \end{pmatrix} = [k_{a,b}] \{\tilde{r}_{a,b}\} = \begin{pmatrix} u_a & w_a & \varphi_a & u_b & w_b & \varphi_b \\ k_{1,1} & k_{1,2} & k_{1,3} & k_{1,4} & k_{1,5} & k_{1,6} \\ k_{2,1} & k_{2,2} & k_{2,3} & k_{2,4} & k_{2,5} & k_{2,6} \\ k_{3,1} & k_{3,2} & k_{3,3} & k_{3,4} & k_{3,5} & k_{3,6} \\ k_{4,1} & k_{4,2} & k_{4,3} & k_{4,4} & k_{4,5} & k_{4,6} \\ k_{5,1} & k_{5,2} & k_{5,3} & k_{5,4} & k_{5,5} & k_{5,6} \\ k_{6,1} & k_{6,2} & k_{6,3} & k_{6,4} & k_{6,5} & k_{6,6} \end{pmatrix} \begin{pmatrix} \tilde{u}_a \\ \tilde{w}_a \\ \tilde{\varphi}_a \\ \tilde{u}_b \\ \tilde{w}_b \\ \tilde{\varphi}_b \end{pmatrix} = \begin{pmatrix} u_a & \tilde{X}_{a,b} \\ w_a & \tilde{Z}_{a,b} \\ \varphi_a & \tilde{M}_{a,b} \\ u_b & \tilde{X}_{b,a} \\ w_b & \tilde{Z}_{b,a} \\ \varphi_b & \tilde{M}_{b,a} \end{pmatrix} = \begin{pmatrix} X_{a,b} \\ Z_{a,b} \\ M_{a,b} \\ X_{b,a} \\ Z_{b,a} \\ M_{b,a} \end{pmatrix}$$

Tabulka 8.5 Vztah lokálních složek u^* , w^* a globálních složek u , w vektoru δ



vyjádření lokálních složek pomocí globálních (základní transformace)

$$u^* = u \cos \gamma + w \sin \gamma \quad // \dots \dots \dots \quad //$$

$$w^* = -u \sin \gamma + w \cos \gamma \quad // \dots \dots \dots \quad //$$

vyjádření globálních složek pomocí lokálních (inverzní transformace)

$$u = u^* \cos \gamma - w^* \sin \gamma \quad // \dots \dots \dots \quad //$$

$$w = u^* \sin \gamma + w^* \cos \gamma \quad // \dots \dots \dots \quad //$$

plochy: $A = (u^*)(w \cos \gamma) = (u^* \cos \gamma)(w)$
poměry stran: $(u^*)/(w \cos \gamma) \neq (u^* \cos \gamma)/(w)$

Tabulka 8.6 Transformační matice

$$[T] = \begin{bmatrix} \cos \gamma & \sin \gamma & 0 & 0 & 0 & 0 \\ -\sin \gamma & \cos \gamma & 0 & 0 & 0 & 0 \\ 0 & 0 & 1 & 0 & 0 & 0 \\ 0 & 0 & 0 & \cos \gamma & \sin \gamma & 0 \\ 0 & 0 & 0 & -\sin \gamma & \cos \gamma & 0 \\ 0 & 0 & 0 & 0 & 0 & 1 \end{bmatrix} = \begin{bmatrix} c & s & 0 & 0 & 0 & 0 \\ -s & c & 0 & 0 & 0 & 0 \\ 0 & 0 & 1 & 0 & 0 & 0 \\ 0 & 0 & 0 & c & s & 0 \\ 0 & 0 & 0 & -s & c & 0 \\ 0 & 0 & 0 & 0 & 0 & 1 \end{bmatrix} \quad \begin{array}{l} \text{inverzní} \\ \text{matice} \\ \text{se rovná} \\ ; \text{ transponované} \\ \text{matice} \end{array}$$

$$[T]^{-1} = [T]^T$$

Tabulka 8.7a

Transformace primárního lokálního vektoru do globálního vektoru zatížení prutu

$$\{R_{a,b}\} = \begin{pmatrix} X_{a,b} \\ Z_{a,b} \\ M_{a,b} \\ X_{b,a} \\ Z_{b,a} \\ M_{b,a} \end{pmatrix} = [T_{a,b}]^T \{R_{a,b}^*\} = \begin{pmatrix} X_{a,b}^* & Z_{a,b}^* & M_{a,b}^* \\ X_{b,a}^* & Z_{b,a}^* & M_{b,a}^* \end{pmatrix} = \begin{pmatrix} X_{a,b}^* c - Z_{a,b}^* s & X_{a,b}^* s + Z_{a,b}^* c & M_{a,b}^* \\ X_{b,a}^* c - Z_{b,a}^* s & X_{b,a}^* s + Z_{b,a}^* c & M_{b,a}^* \end{pmatrix}$$

Tabulka 8.7b

Transformace výsledného globálního vektoru do lokálního vektoru koncových sil

$$\{R_{a,b}^*\} = \begin{pmatrix} X_{a,b}^* \\ Z_{a,b}^* \\ M_{a,b}^* \\ X_{b,a}^* \\ Z_{b,a}^* \\ M_{b,a}^* \end{pmatrix} = [T_{a,b}] \{R_{a,b}\} = \begin{pmatrix} X_{a,b} & Z_{a,b} & M_{a,b} \\ X_{b,a} & Z_{b,a} & M_{b,a} \end{pmatrix} = \begin{pmatrix} X_{a,b} c + Z_{a,b} s & -X_{a,b} s + Z_{a,b} c & M_{a,b} \\ X_{b,a} c + Z_{b,a} s & -X_{b,a} s + Z_{b,a} c & M_{b,a} \end{pmatrix}$$

Obecná deformační metoda (ODM)

Postup výpočtu

1. Úprava modelu, očíslování uzlů, určení minimálního stupně přetvárné neurčitosti \mathbf{n}_p
2. Vypsání neznámých parametrů deformací do globálního vektoru deformací a sestavení globálního vektoru uzlových zatížení (tj. síly a momenty ve směrech a v místech neznámých parametrů deformací). Počet řádků obou vektorů je shodný s \mathbf{n}_p

$$\{\mathbf{r}\} \quad a \quad \{\mathbf{S}\}$$
3. Rozdělení konstrukce na jednotlivé pruty (— | — | o o — | o — o), výpočet lokálních matic tuhosti a lokálních vektorů primárních koncových sil jednotlivých prutů v lokálních souřadnicích (ozn. *)
$$[\mathbf{K}_{i,k}^*] \quad a \quad \{\bar{\mathbf{R}}_{i,k}^*\}$$
4. U prutů, které nemají lokální souřadnice shodné s globálními souřadnicemi výpočet lokálních matic tuhosti a lokálních vektorů primárních koncových sil v globálních souřadnicích (*pruty, které mají lokální souřadnice shodné s globální souřadnicemi, mají shodné také matice a vektory v lokálních i globálních souřadnicích*)
$$[\mathbf{K}_{i,k}] \quad a \quad \{\bar{\mathbf{R}}_{i,k}\}$$
5. Sestavení globální matice tuhosti a globálního vektoru primárních koncových sil celé konstrukce (v glob. souřadnicích). Počet sloupců matice a počty řádků matice a vektoru jsou shodné s \mathbf{n}_p

$$[\mathbf{K}] \quad a \quad \{\bar{\mathbf{R}}\}$$
6. Sestavení zatěžovacího vektoru, následné sestavení soustavy rovnic a výpočet neznámých parametrů deformací ze soustavy
$$\{\mathbf{F}\} = \{\mathbf{S}\} - \{\bar{\mathbf{R}}\}$$

$$[\mathbf{K}] \cdot \{\mathbf{r}\} = \{\mathbf{F}\}$$
7. Sestavení lokálních vektorů deformací prutů v globálních souřadnicích a u prutů, které nemají lokální souřadnice shodné s globálními souřadnicemi výpočet lokálních vektorů deformací prutů v lokálních souřadnicích
$$\{\mathbf{r}_{i,k}\} = \{\mathbf{r}_{i,k}^*\} \quad a \text{ popř. } \{\mathbf{r}_{i,k}\} \Rightarrow \{\mathbf{r}_{i,k}^*\}$$
8. Výpočet lokálních vektorů sekundárních koncových sil a lokálních vektorů výsledných koncových sil jednotlivých prutů
$$\{\hat{\mathbf{R}}_{i,k}^*\} = [\mathbf{K}_{i,k}^*] \cdot \{\mathbf{r}_{i,k}^*\}$$

$$\{\mathbf{R}_{i,k}^*\} = \{\bar{\mathbf{R}}_{i,k}^*\} + \{\hat{\mathbf{R}}_{i,k}^*\}$$
9. Vykreslení průběhů vnitřních sil